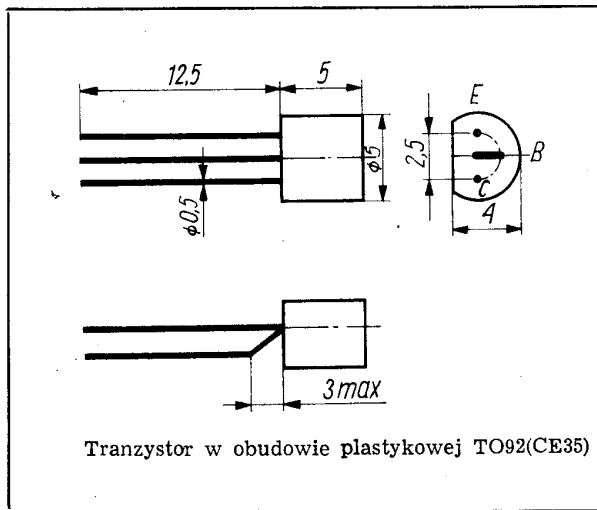


Tranzystory krzemowe epiplanarne małej mocy małej częstotliwości.

Są przeznaczone do zastosowań uniwersalnych w układach automatyki i aparaturze radiowo-odbiorczej oraz w układach stopni wejściowych i sterujących małej częstotliwości.



**DANE TECHNICZNE**

**Wartości dopuszczalne parametrów eksploatacyjnych**

Typ	BCP627	BCP628	
Napięcie kolektor-baza $U_{CB0}$	45	20	V
Napięcie kolektor-emiter $U_{CE0}$	45	20	V
Napięcie emiter-baza $U_{EB0}$	5	5	V
Prąd kolektora $I_C$	50	50	mA
Prąd szczytowy kolektora $I_{CM}$	200	200	mA
Prąd bazy $I_B$	5	5	mA
Temperatura złącza $t_j$	398 K (125°C)		
Zakres temperatury składowania $t_{stg}$	248...358 K (-25...+85°C)		
Moc tracona w kolektorze przy $t_{amb} = 298$ K (25°C) $P_C$	220	220	mW

**Parametry termiczne**

Rezystancja termiczna złącze-otoczenie $R_{th(j-a)}$	≤454	≤454	K/W
--	------	------	-----

TRANZYSTOR BCP627

**Parametry statyczne**

		przy $t_{amb} = 298$ K (25°C)			
		min.	typ.	maks.	
Prąd zerowy kolektora przy $I_E = 0$ , $U_{CB} = 45$ V	$I_{CB0}$	—	0,8	30	nA
Napięcie przebicia kolektor-emiter przy $I_C = 2$ mA	$U_{(BR)CE0}$	45	75	—	V
Napięcie przebicia emiter-baza przy $I_E = 10$ μA	$U_{(BR)EB0}$	5	7,5	—	V
Napięcie nasycenia kolektor-emiter przy $I_C = 10$ mA, $I_B = 0,5$ mA	$U_{CEsat}$	—	0,09	0,25	V
Współczynnik wzmacnienia prądowego* przy $I_C = 100$ μA, $U_{CE} = 5$ V	$h_{21E}$	kl. A 50	100	—	—
		kl. B 80	160	—	—
		kl. C 150	300	—	—

**Parametry dynamiczne**

		przy $t_{amb} = 298$ K (25°C)			
		min.	typ.	maks.	
Współczynnik szumów przy $I_C = 0,2$ mA, $U_{CE} = 5$ V, $f = 1$ kHz, $R_g = 2$ kΩ, $\Delta f = 200$ Hz	F	—	6,5	10	dB
Częstotliwość graniczna przy $I_C = 10$ mA, $U_{CE} = 5$ V, $f = 100$ MHz	$f_T$	150	400	—	MHz
Pojemność złącza kolektora przy $U_{CB} = 10$ V, $f = 1$ MHz	$C_C$	—	2	6	pF
Impedancja wejściowa przy $I_C = 2$ mA, $U_{CE} = 5$ V, $f = 1$ kHz	$h_{11e}$	kl. A 1,6	3	3,5	kΩ
		kl. B 2,7	6	7	kΩ
		kl. C 5	9	15	kΩ

\* Podziału na klasy dokonuje się na życzenie odbiorcy określone w zamówieniu.

Wartość małosygnałowa współczynnika wzmocnienia prądowego przy  $I_C = 2 \text{ mA}$ ,  $U_{CE} = 5 \text{ V}$ ,  $f = 1 \text{ kHz}$

$h_{21e}$	kl. A	100	200	240	—
	kl. B	210	380	450	—
	kl. C	400	600	900	—

TRANZYSTOR BCP628

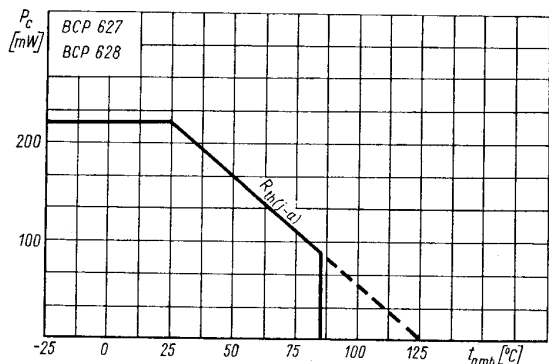
Parametry statyczne

przy $t_{amb} = 298 \text{ K}$ (25°C)		min.	typ.	maks.	
Prąd zerowy kolektora przy $I_E = 0$ , $U_{CB} = 20 \text{ V}$	$I_{CB0}$	—	0,8	30	nA
Napięcie przebicia kolektor-emiter przy $I_C = 2 \text{ mA}$	$U_{(BR)CE0}$	20	55	—	V
Napięcie przebicia emiter-baza przy $I_E = 10 \mu\text{A}$	$U_{(BR)EB0}$	5	7,5	—	V
Napięcie nasycenia kolektor-emiter przy $I_C = 10 \text{ mA}$ , $I_B = 0,5 \text{ mA}$	$U_{CEsat}$	—	0,09	0,25	V
Współczynnik wzmocnienia prądowego* przy $I_C = 100 \mu\text{A}$ , $U_{CE} = 5 \text{ V}$	$h_{21E}$	kl. A	50	100	—
		kl. B	80	160	—
		kl. C	150	360	—

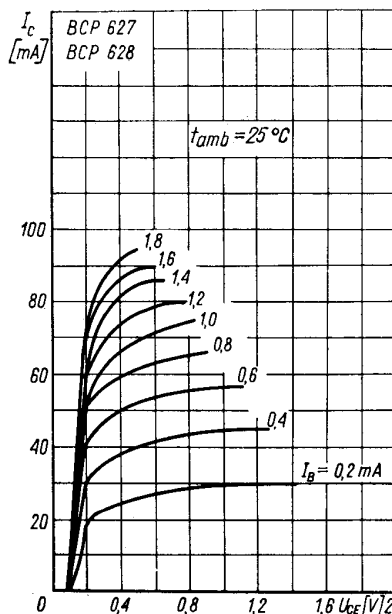
\* Podziału na klasy dokonuje się na życzenie odbiorcy określone w zamówieniu.

Parametry dynamiczne

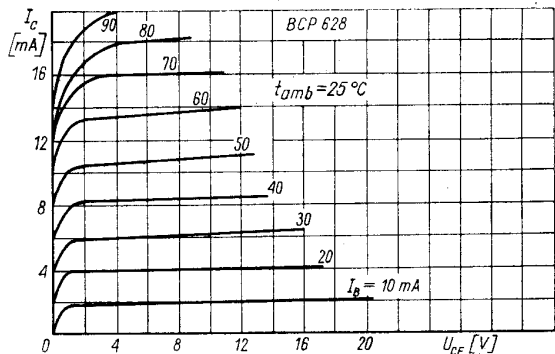
przy $t_{amb} = 298 \text{ K}$ (25°C)		min.	typ.	maks.	
Współczynnik szumów przy $I_C = 0,2 \text{ mA}$ , $U_{CE} = 5 \text{ V}$ , $f = 1 \text{ kHz}$ , $R_g = 2 \text{ k}\Omega$ , $\Delta f = 200 \text{ Hz}$	F	—	6,5	10	dB
Częstotliwość graniczna przy $I_C = 10 \text{ mA}$ , $U_{CE} = 5 \text{ V}$ , $f = 100 \text{ MHz}$	$f_T$	150	400	—	MHz
Pojemność złącza kolektora przy $U_{CB} = 10 \text{ V}$ , $f = 1 \text{ MHz}$	$C_C$	—	2	6	pF
Impedancja wejściowa przy $I_C = 2 \text{ mA}$ , $U_{CE} = 5 \text{ V}$ , $f = 1 \text{ kHz}$	$h_{11e}$	kl. A	1,6	3	3,5 kΩ
		kl. B	2,7	6	7,0 kΩ
		kl. C	5,0	9	15 kΩ
Wartość małosygnałowa współczynnika wzmocnienia prądowego przy $I_C = 2 \text{ mA}$ , $U_{CE} = 5 \text{ V}$ , $f = 1 \text{ kHz}$	$h_{21e}$	kl. A	100	200	240
		kl. B	210	380	450
		kl. C	400	600	900



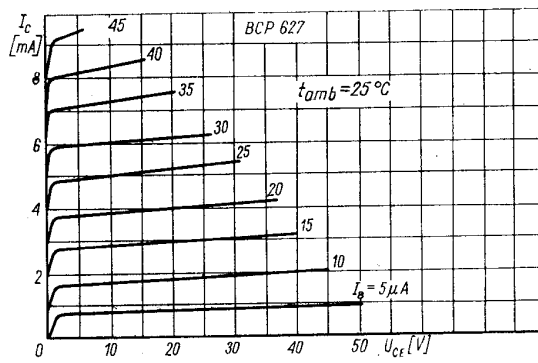
Zależność temperaturowa mocy strat  $P_C = f(t_{amb})$



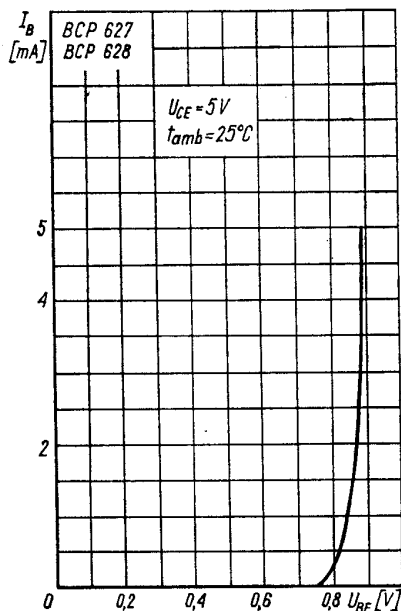
Charakterystyka wyjściowa  $I_C = f(U_{CE})$ ;  $I_B$  — parametr



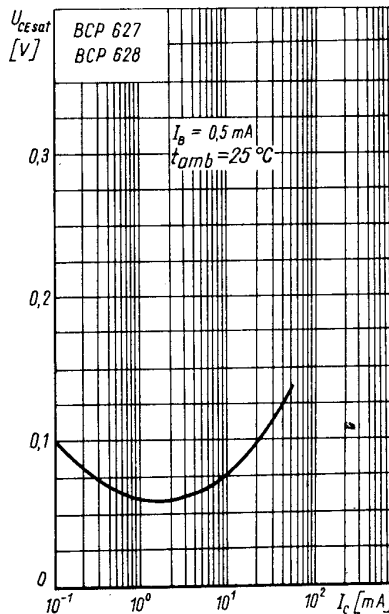
Charakterystyka wyjściowa  $I_c = f(U_{CE})$ ;  $I_B$  — parametr



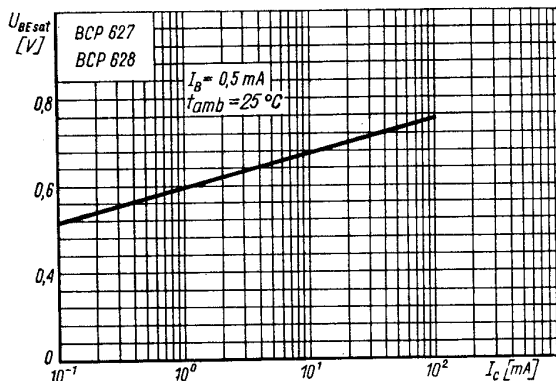
Charakterystyka wyjściowa  $I_c = f(U_{CE})$ ;  $I_B$  — parametr



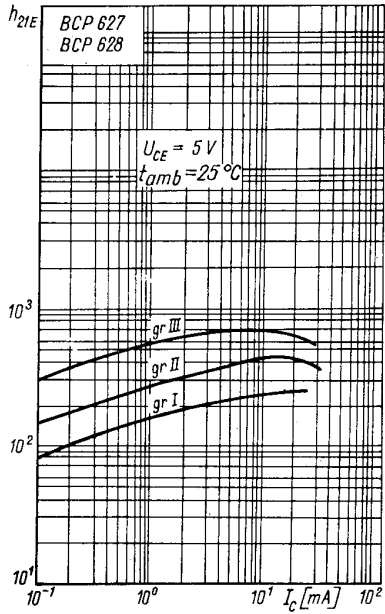
Charakterystyka przejściowa  $I_B = f(U_{BE})$



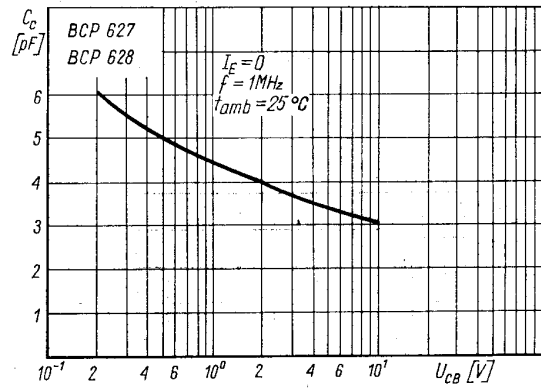
Zależność napięcia nasycenia  $U_{CEsat}$  od prądu kolektora  $U_{CEsat} = f(I_c)$



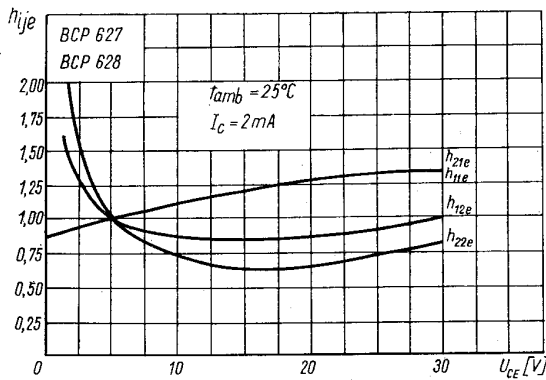
Zależność napięcia nasycenia  $U_{BEsat}$  od prądu kolektora  $U_{BEsat} = f(I_c)$



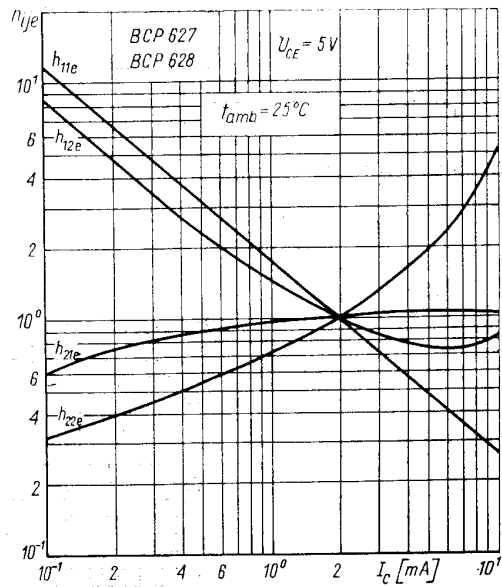
Zależność statycznego współczynnika wzmocnienia prądowego od prądu kolektora  $h_{21E} = f(I_C)$



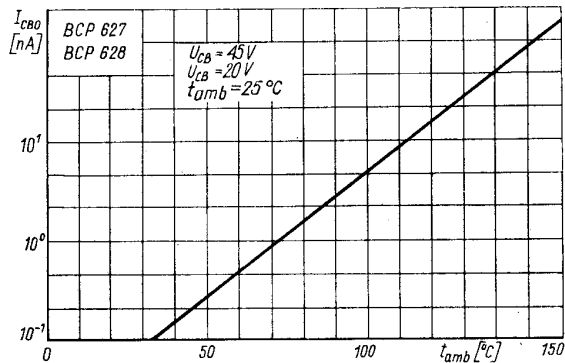
Zależność pojemności złącza kolektora od napięcia  $U_{CB}$ ;  $C_C = f(U_{CB})$



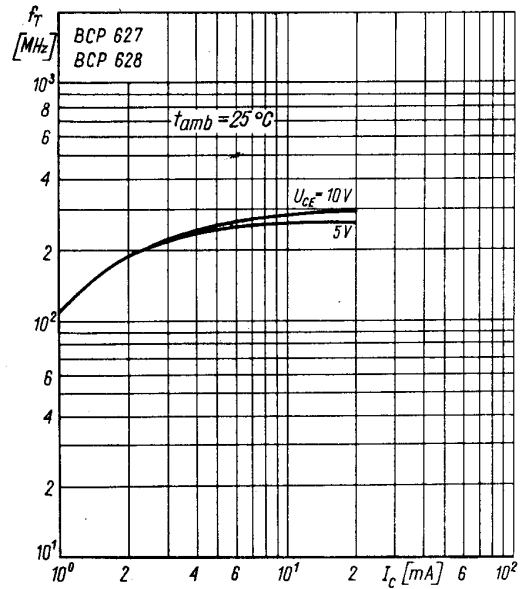
Zależność parametrów macierzy  $h_{ij}$  od prądu kolektora  $h_{ij} = f(I_C)$



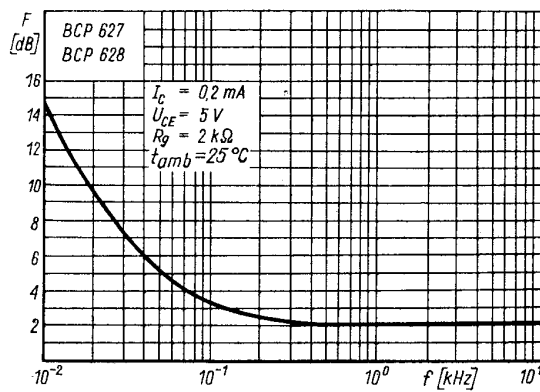
Zależność parametrów macierzy  $h_{ij}$  od napięcia kolektor-emit  $h_{ij} = f(U_{CE})$



Zależność temperaturowa prądu zerowego  $I_{CB0} = f(t_{amb})$



Zależność częstotliwości granicznej od prądu kolektora  $f_T = f(I_C)$ ;  $U_{CE}$  — parametr



Zależność współczynnika szumów od częstotliwości  $F = f(f)$

PRODUCENT

**UNITRA**  
CEMI

NAUKOWO-PRODUKCYJNE CENTRUM  
PÓLPRZEWODNIKÓW „TEWA”

ul. Komarowa 5  
02-675 Warszawa  
Telefon: 431431  
Teleks: 813219

DYSTRYBUTOR

**UNITRA**  
CEMI

BIURO ZBYTU SPRZĘTU  
TELERADIOTECHNICZNEGO

ul. Nowogrodzka 50  
00-695 Warszawa  
Telefony: 289411, 286471  
Teleks: 813435



LittleDiode supplies new, hard to find or obsolete electronic components and semiconductors all over the world.

With over two million different components listed you are sure to find the part you need.

Feel free to visit us today at our online store:

[LittleDiode.com](http://LittleDiode.com)

Looking forward to providing you with the best possible service.